

FUNZIONE DESCRITTIVA

06/04/2010

Terza Università degli studi di Roma

G.U -FdA- 1

SISTEMI CON SEMPLICI NON LINEARITÀ

Sistemi Non Lineari

- Le caratteristiche dipendono dall'**ampiezza** dei segnali
 - Lo studio è molto più complesso
 - Difficile anche imporre **specifiche**
-  Non si applica la sovrapposizione

Obiettivi minimi:

- Verificare la presenza di **oscillazioni (cicli limite)**
- Calcolare i valori di **regime**

Ipotesi semplificative della presente trattazione

- Una sola NL SISO nel loop
 - La caratteristica è algebrica non differenziale
-  Non dipende da ω

(Rif. MARRO: Controlli Automatici)

06/04/2010

Terza Università degli studi di Roma

G.U -FdA- 2

CICLI LIMITE

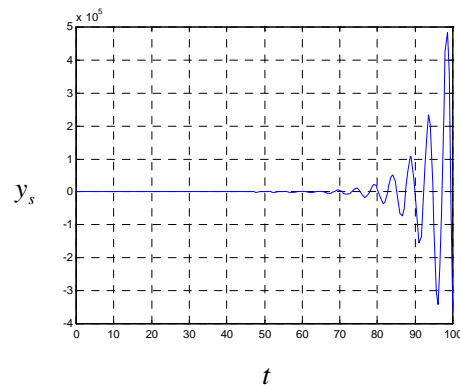
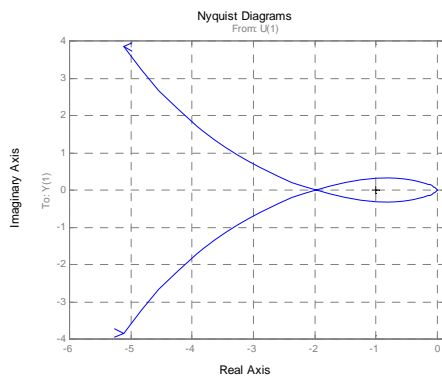
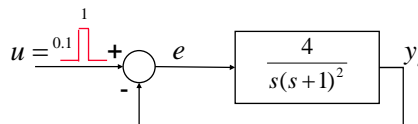
- Si ha un **ciclo limite** quando l'andamento delle variabili di stato di un sistema autonomo ($u=0$) è periodico.
E' definito (almeno) da ampiezza e frequenza.
Es.: orbita di un satellite.
- Ciclo limite **stabile**: $x(t)$, dopo una piccola perturbazione istantanea, torna sul ciclo limite.
- Ciclo limite **instabile**: $x(t)$, ..., si allontana.
- I cicli limite si possono avere solo con **sistemi non lineari**.

06/04/2010

Terza Università degli studi di Roma

G.U -FdA- 3

OSCILLAZIONI IN UN SISTEMA LINEARE

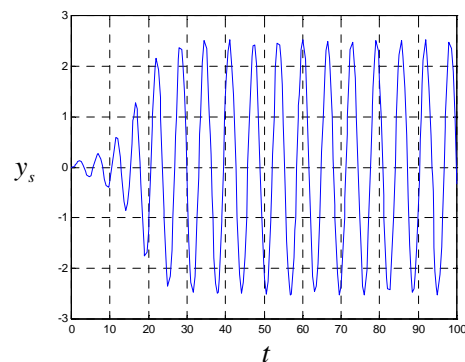
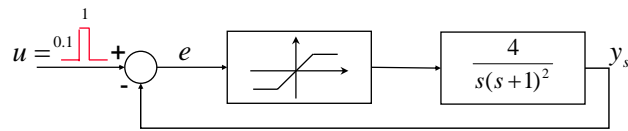


06/04/2010

Terza Università degli studi di Roma

G.U -FdA- 4

CICLO LIMITE IN UN SISTEMA NON LINEARE

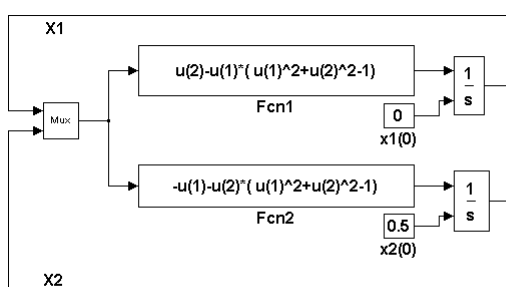


06/04/2010

Terza Università degli studi di Roma

G.U -FdA- 5

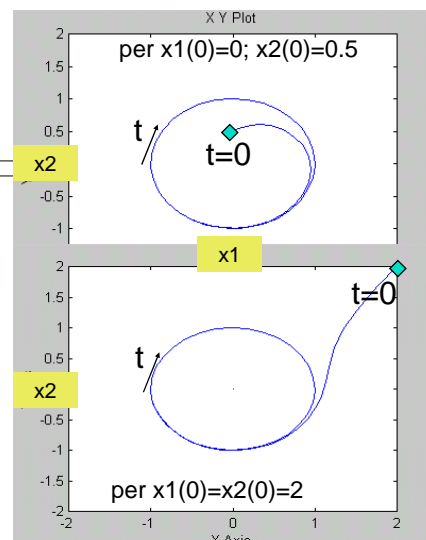
ESEMPIO DI C.L. STABILE



Ciclo limite stabile

n.b.: $x_1^2 + x_2^2 = 1$

n.b. 2: Il sistema è instabile,
il ciclo limite (C.L.) è stabile

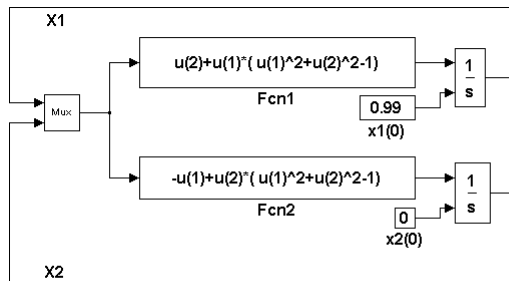


06/04/2010

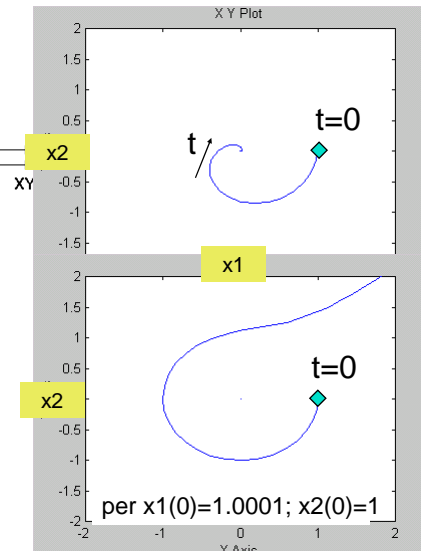
Terza Università degli studi di Roma

G.U -FdA- 6

CICLO LIMITE INSTABILE



Ciclo limite instabile

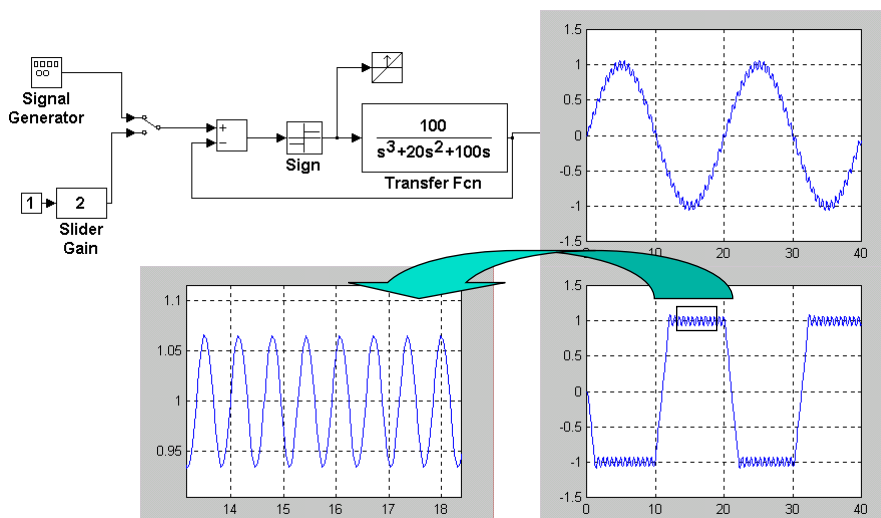


06/04/2010

Terza Università degli studi di Roma

G.U -FdA- 7

C.L. IN UN SIST. A CONTROREAZIONE



06/04/2010

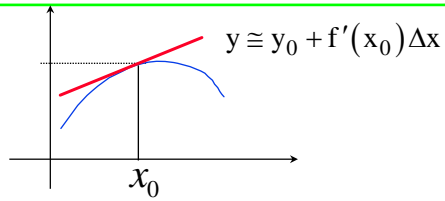
Terza Università degli studi di Roma

G.U -FdA- 8

LINEARIZZAZIONI

Taylor

- esatta per $\Delta x \rightarrow 0$

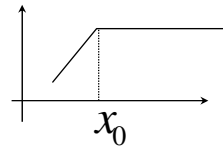


- adatta \forall tipo di $\Delta x(t)$

Si trascurano le
derivate >1

- Cade se Δx grande, ad es. oscillazioni

- Non utilizzabile se $\nexists f'(x)$



06/04/2010

Terza Università degli studi di Roma

G.U -FdA- 9

LINEARIZZAZIONI (2)

Armonica

$$x \sin \omega t \longrightarrow \boxed{L} \longrightarrow Kx \sin(\omega t + \varphi)$$

$$x \sin \omega t \longrightarrow \boxed{NL} \longrightarrow \Sigma Y_i(x) \sin[\omega t + \varphi_i(x)] \cong Y_0 + Y_1(x) \sin[\omega t + \varphi_1(x)]$$

- Non legata ad un punto di lavoro
ma ad un tipo di ingresso
- Valida per ogni ampiezza

Si trascurano
le armoniche >1

Sono entrambi sviluppi in serie di **funzioni ortogonali**

06/04/2010

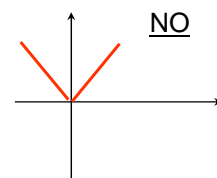
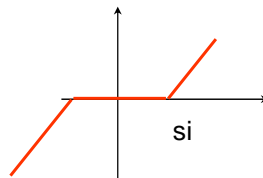
Terza Università degli studi di Roma

G.U -FdA- 10

METODO DELLA FUNZIONE DESCRITTIVA

Ipotesi :

- Ingresso del sistema nullo
 - Caratteristiche NL antisimmetriche
- $Y_0 \equiv 0$



- la parte lineare è “passa basso”

→ attenua le armoniche superiori

$$y(t) \cong Y_1(x) \sin[\omega t + \phi_1(x)]$$

06/04/2010

Terza Università degli studi di Roma

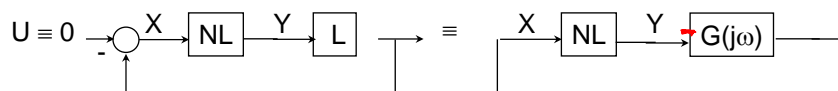
G.U -FdA- 11

DEFINIZIONE

- Si definisce “FUNZIONE DESCRITTIVA”, la fcn complessa:

$$F(x) = \frac{1}{x} \cdot Y_1(x) \cdot e^{j\phi_1(x)}$$

- Si approssimano le oscillazioni (cicli limite) con andamenti sinusoidali
- $F(x)$ quasi una funzione di trasferimento, un guadagno variabile



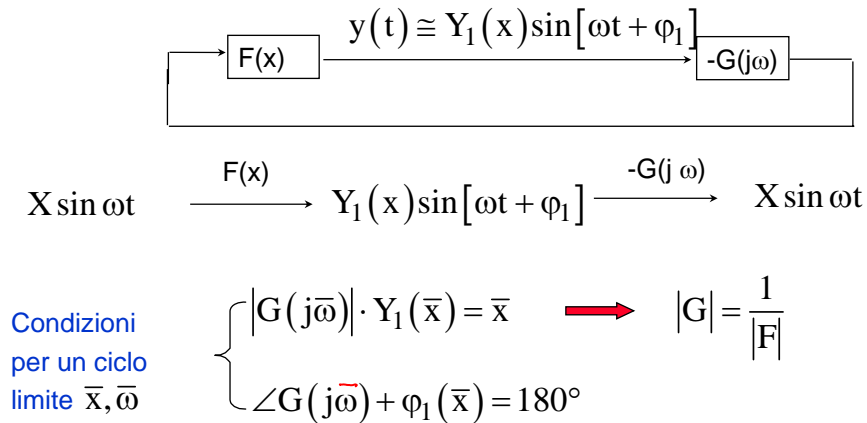
06/04/2010

Terza Università degli studi di Roma

G.U -FdA- 12

METODO DELLA FUNZIONE DESCRITTIVA

per la determinazione dei cicli limite



06/04/2010

Terza Università degli studi di Roma

G.U -FdA- 13

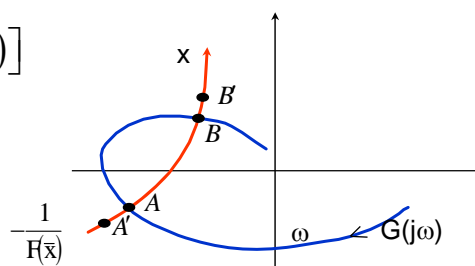
METODO DELLA FUNZIONE DESCRITTIVA

Interpretazione Grafica

$$\arg[G(j\bar{\omega})] = 180^\circ - \arg[F(\bar{x})]$$

$$|G(j\bar{\omega})| = \frac{1}{|F(\bar{x})|}$$

$$-\frac{1}{F(\bar{x})} = G(j\bar{\omega})$$



Quando c'è intersezione c'è un ciclo limite

A : C.L. instabile se \bar{x} diminuisce (A'), occorrerebbe $|G|$ maggiore

B : C.L. stabile se \bar{x} aumenta (B') con $|G| = \text{cost}$, può ridiminuire e tornare a B

06/04/2010

Terza Università degli studi di Roma

G.U -FdA- 14

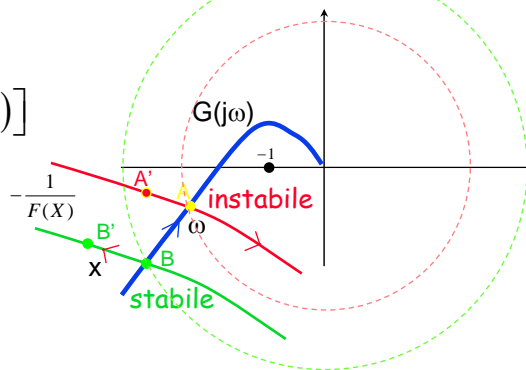
METODO DELLA FUNZIONE DESCRITTIVA

Interpretazione Grafica

$$\arg[G(j\omega)] = 180^\circ - \arg[F(\bar{x})]$$

$$|G(j\omega)| = \frac{1}{|F(\bar{x})|}$$

$$-\frac{1}{F(\bar{x})} = G(j\omega)$$



Quando c'è intersezione c'è un ciclo limite

A : C.L. instabile se x diminuisce (A'), $F(x)^*$ diminuisce $\Rightarrow x$ continua a diminuire

B : C.L. stabile se x aumenta (B') $F(x)^*$ diminuisce \Rightarrow effetto stabilizzante
 $\Rightarrow x$ ridiminuisce e torna a B

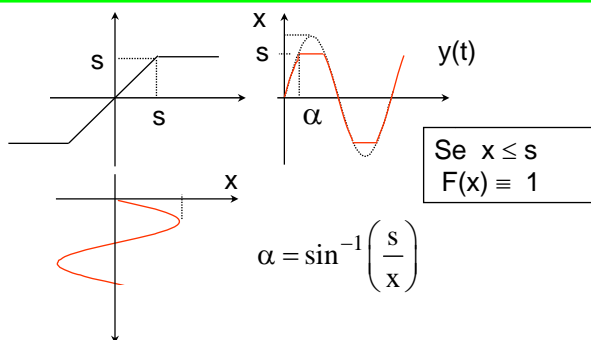
(*) i.e. il guadagno d'anello

06/04/2010

Terza Università degli studi di Roma

G.U -FdA- 15

ESEMPIO DI CALCOLO (SATURAZIONE)



Per la simmetria $a_1 \equiv 0$ $F(x)$ solo Reale

$$b_1 = \frac{4}{\pi} \int_0^{\frac{\pi}{2}} \dots = \frac{4}{\pi} \left[\int_0^{\alpha} x \cdot \sin^2 \omega t \cdot d\omega t + \int_{\alpha}^{\frac{\pi}{2}} s \cdot \sin \omega t \cdot d\omega t \right]$$

Occorre calcolare la
1ª armonica di $y(t)$

$$F(x) = \frac{1}{x} [b_1(x) + ja_1(x)]$$

$$b_1 = \frac{1}{\pi} \int_{-\pi}^{\pi} y(t) \sin(\omega t) d\omega t$$

$$a_1 = \frac{1}{\pi} \int_{-\pi}^{\pi} y(t) \cos(\omega t) d\omega t$$

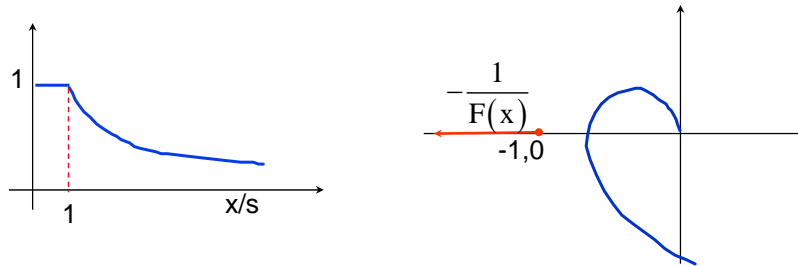
06/04/2010

Terza Università degli studi di Roma

G.U -FdA- 16

SATURAZIONE (2)

$$F(x) = \begin{cases} 1 & x \leq s \\ \frac{2}{\pi} \left[\sin^{-1} \left(\frac{s}{x} \right) + \frac{s}{x} \sqrt{1 - \left(\frac{s}{x} \right)^2} \right] & x > s \end{cases}$$

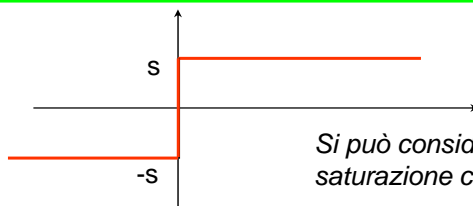


06/04/2010

Terza Università degli studi di Roma

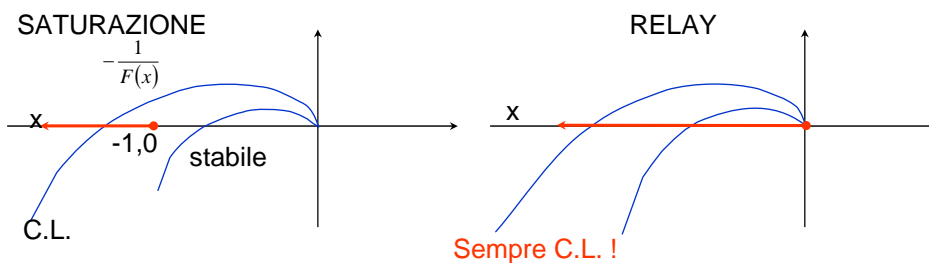
G.U -FdA- 17

RELAY



$$F(x) = \frac{4s}{\pi x}$$

Si può considerare come una saturazione con guadagno infinito



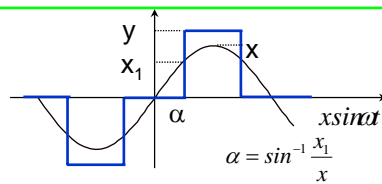
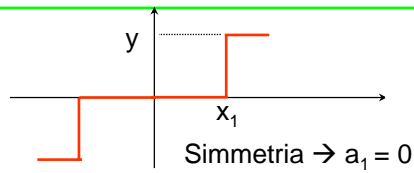
Si noti che per piccoli sfasamenti $\begin{cases} \omega \rightarrow \infty \\ \bar{x} \rightarrow 0 \end{cases}$

06/04/2010

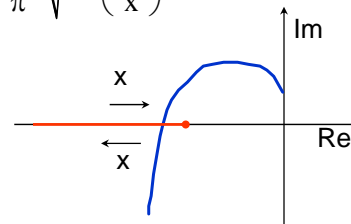
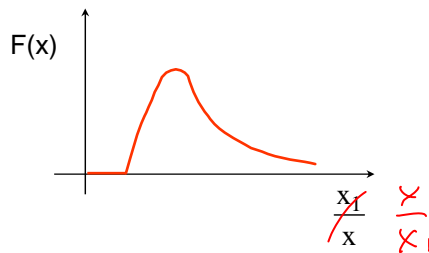
Terza Università degli studi di Roma

G.U -FdA- 18

RELAY CON SOGLIA



$$b_1 = \frac{4}{\pi} \int_0^{\frac{\pi}{2}} \dots = \frac{4}{\pi} \int_{\alpha}^{\frac{\pi}{2}} Y_1 \cdot \sin \omega t \cdot d\omega t = \begin{cases} 0 & x \leq x_1 \\ \frac{4Y_1}{\pi} \sqrt{1 - \left(\frac{x_1}{x}\right)^2} & x > x_1 \end{cases}$$



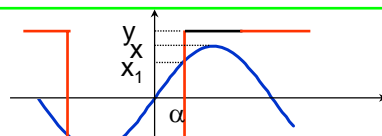
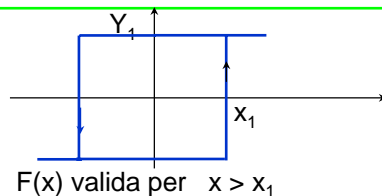
Due intersez. : un ciclo stabile ($x \rightarrow \text{inf}$)
uno instabile

06/04/2010

Terza Università degli studi di Roma

G.U.-FdA- 19

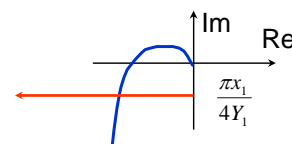
RELAY CON ISTERESI



$$a_1 = -\frac{4Y_1}{\pi} \cdot \frac{x_1}{x}, \quad b_1 = \frac{4Y_1}{\pi} \cdot \sqrt{1 - \left(\frac{x_1}{x}\right)^2}$$

$$F(x) = \frac{1}{x} (b_1 + ja_1) = \frac{4Y_1}{\pi x} (\sqrt{1 - k^2} - jk)$$

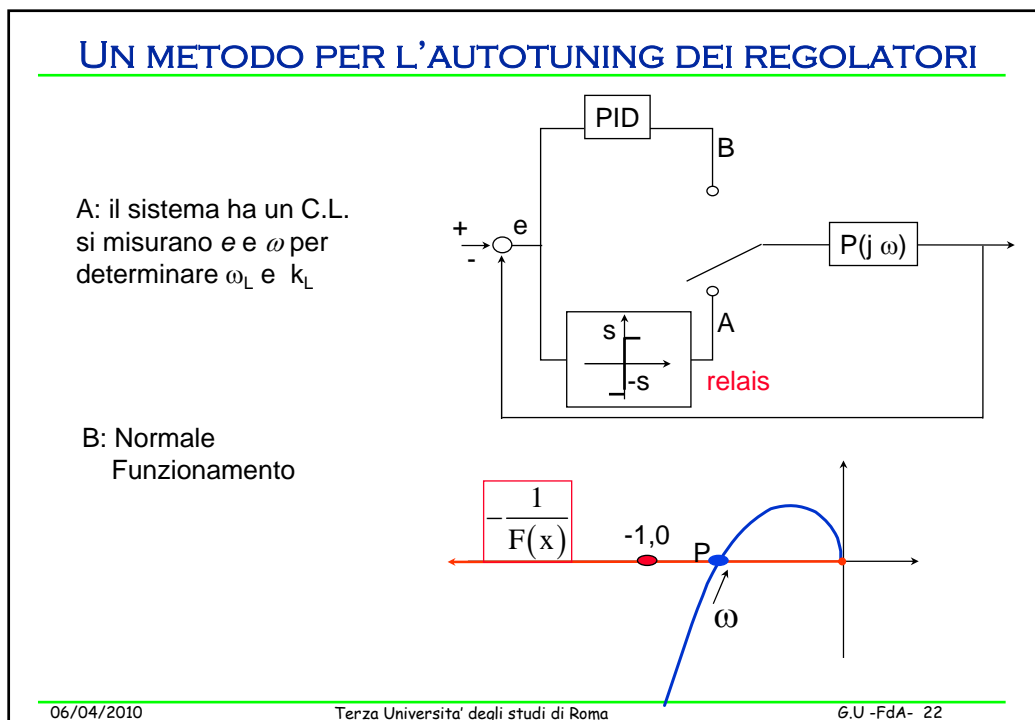
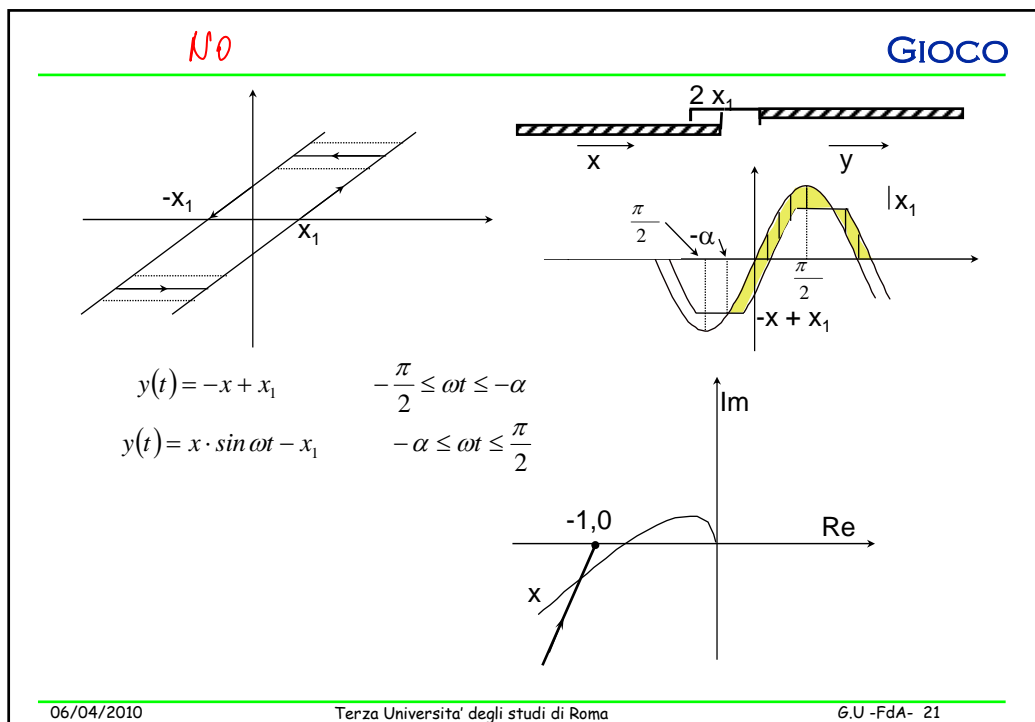
$$-\frac{1}{F(x)} = \frac{\pi x}{4Y_1} (\sqrt{1 - k^2} + jk) = -\frac{\pi x}{4Y_1} \left[\sqrt{1 - \left(\frac{x_1}{x}\right)^2} + j \frac{x_1}{x} \right]$$



06/04/2010

Terza Università degli studi di Roma

G.U.-FdA- 20



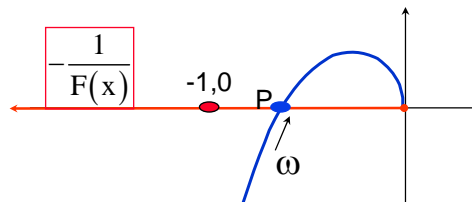
UN METODO PER L'AUTOTUNING ... (2)

$$F(x) = \frac{4S}{\pi x}$$

$$\bar{x} \equiv |e_{osc}|$$

$$\frac{1}{m_g} = \frac{\pi x_{osc}}{4S}, \quad \omega_L = \omega_{osc}$$

= margine di guadagno = K_L



Si individua
la posizione di P
dalle misure di :

- frequenza oscillazione ω_{osc}
- ampiezza oscillazione e_{osc}

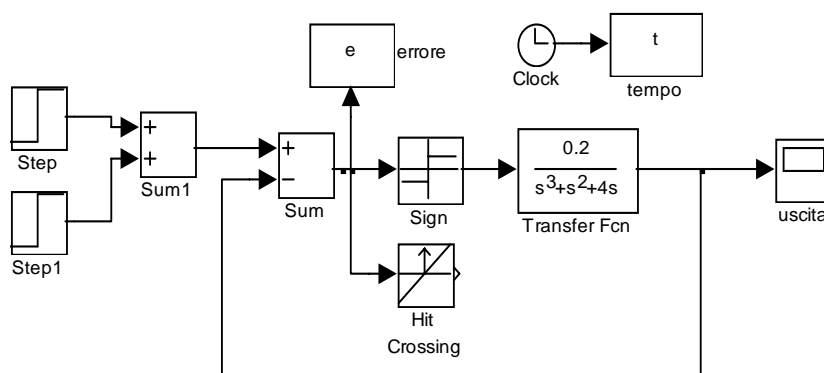
In base a questi valori si calcolano k_p , k_i , k_d
Poi si commuta sul PID

06/04/2010

Terza Università degli studi di Roma

G.U -FdA- 23

ESEMPIO

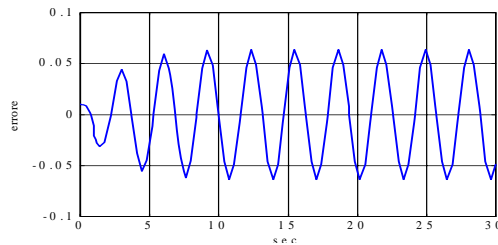


06/04/2010

Terza Università degli studi di Roma

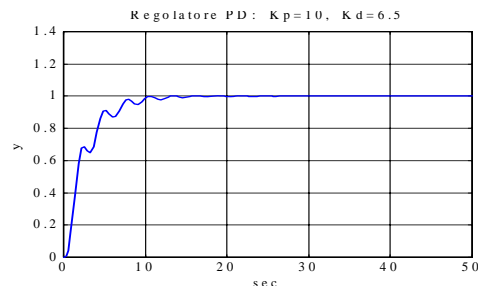
G.U -FdA- 24

ESEMPIO (2)



Misura con il relè:
 $m_g = 20$
 $\omega_L = 2.01 \text{ rad/sec}$

Uso normale
 con Regolatore
 Proporzionale
 Derivativo



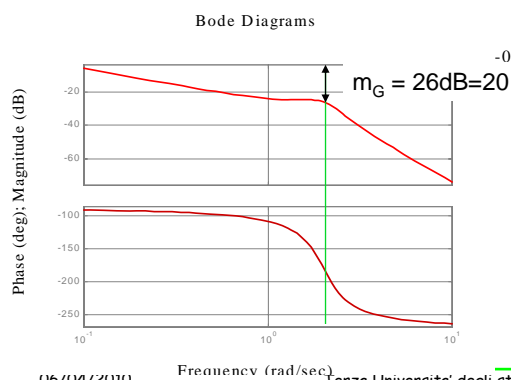
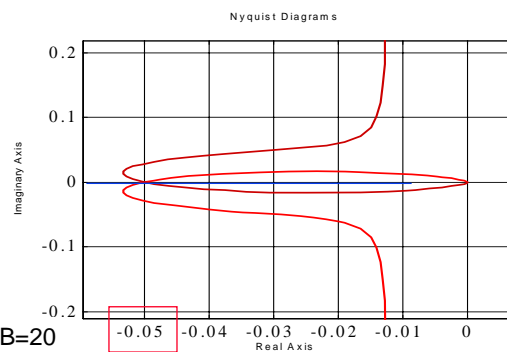
06/04/2010

Terza Università degli studi di Roma

G.U -FdA- 25

ESEMPIO (CONTINUA)

Dai diagrammi di Nyquist:



06/04/2010

Frequency (rad/sec)

Terza Università degli studi di Roma

G.U -FdA- 26